

مطالعه‌ی آزمایشگاهی اثر رطوبت و زاویه‌ی برش در مشخصات فصل مشترک خاک و ورقه‌ی الیاف بسپاری

و هب توفيق* (دانشیار)

دانشکده‌ی مهندسی عمران، دانشگاه صنعتی شریف

وحید توفيق (دانشیار)

حسین قاسمی نژاد (کارشناسی ارشد)

دانشکده‌ی مهندسی عمران و نقشه‌برداری، دانشگاه تحصیلات تکمیلی صنعتی و فناوری پیشرفته، کرجان

در این تحقیق به بررسی آزمایشگاهی اندرکنش بین سطح الیاف بسپاری کربنی و خاک ماسه‌ی سیلتی تحت اثر رطوبت‌های مختلف در آزمایش برش مستقیم پرداخته شده است. نوع جهت‌گیری الیاف شامل الیاف تک‌جهتی در راستای برش، تک‌جهتی عمود بر راستای برش، دوچهتی عمود بر راستای برش و دوچهتی تحت زاویه‌ی ۴۵ درجه با راستای برش آزمایش شد. نتایج نشان داد که زاویه‌ی اصطکاک سطح مشترک بین ماسه و الیاف تابع جهت برش و رطوبت است. در حالت خشک زاویه‌ی اصطکاک سطح مشترک بین خاک و الیاف دوچهتی عمود بر راستای برش به ترتیب ۷/۵، ۴/۳ و ۲۹ درصد بزرگ‌تر از زاویه‌ی اصطکاک اندرکنش در سطح مشترک خاک به الیاف دوچهتی با زاویه‌ی ۴۵ درجه، الیاف تک‌جهتی عمود و الیاف تک‌جهتی موازی جهت برش است. علاوه بر این نتایج نشان داد که نسبت ضربی اصطکاک بین خاک و الیاف یک‌طرفه در جهت طولی نسبت به خود خاک حدود ۷۳٪ و در جهت عمود بر امتداد الیاف ۸۸٪ بوده است. در مورد الیاف دوطرفه این نسبت‌ها به ترتیب ۹۱٪ با زاویه‌ی ۴۵ درجه و ۹۵٪ در امتداد عمود بر الیاف بوده است.

vahabtoufigh@gmail.com
vahiddavis@gmail.com
hoseinghasemi1386@gmail.com

وازگان کلیدی: مقاومت برشی، ماسه، الیاف بسپاری، زاویه‌ی برش.

۱. مقدمه

این دیوارها را در مقایسه با دیوارهای مسلح شده با ژئوتکستیل نشان می‌دهد.^[۱] تحلیل‌های عددی و مشاهدات واقعی دیوارهای حائل مسلح شده با ورقه‌های الیاف کربنی و مقایسه‌ی آنها با دیوارهای مسلح شده با ژئوتکستیل نشان می‌دهد که قرارگیری ورقه‌های مسلح‌کننده‌ی الیاف کربن در عمق مناسب که طول گرایی بهینه را تأمین کند، باعث کاهش تعداد لایه‌های مورد نیاز برای تأمین پایداری دیوار حائل می‌شود.^[۲] خاک مسلح شده با الیاف بسپاری نوعی محیط غیرهمگن با فصل مشترک متغیری بین خاک و ورقه‌ی بسپاری است. پس مشخصات مکانیکی خاک تقویت شده با این نوع الیاف تابع مشخصات فصل مشترک خاک با ورقه‌ی بسپاری خواهد بود.^[۱] در طراحی سازه‌های خاک مسلح، دو معیار گسیختگی و بیرون‌کشیدگی مسلح‌کننده‌ها تعیین‌کننده‌ی مقاومت و پایداری کل سیستم است. استفاده از الیاف کربن پر مقاومت مانع گسیختگی مسلح‌کننده‌ها می‌شود. با توجه به اینکه مقاومت کششی الیاف کربن در مقایسه با ژئوتکستیل‌ها به مرتبه بیشتر است، برای استفاده از این مقاومت بالا، مهار مناسب این مصالح در داخل خاک ضروری است. با توجه به این موارد، برای طراحی صحیح سازه‌های خاک مسلح، مطالعه‌ی دقيق رفتار

* نویسنده مسئول

تاریخ: دریافت ۳/۹/۱۳۹۸، اصلاحیه ۲۳/۱۱/۱۳۹۸، پذیرش ۱۰/۳/۱۳۹۹.

DOI:10.24200/J30.2020.54723.2665

دروسی و همکاران^[۱۴] (۲۰۱۸) با استفاده از ملات‌های ژئوبسپاری به همراه ضایعات، توانستند ظرفیت جاگیری ازو رود رطوبت را بالا ببرند. نامجو و همکاران^[۱۵] در سال (۲۰۱۹) به بررسی اندرکنش خاک‌های ماسه با الیاف بسپاری کربنی پرداخته‌اند. آنها نشان دادند که اندرکنش بین خاک و پلیمر کربنی وابسته به راستای برشی و زیری سطح مشترک خاک و این نوع الیاف است. کاسیو و همکاران^[۱۶] نیز به بررسی ظرفیت کترول رطوبت ترکیبات ژئوبسپاری پرداختند و همبستگی ترکیبات حجمی را با رفتار جاذب و دافع بررسی کردند.

محققان دیگری نیز رفتار انتقال حرارتی پلیمرهای کربنی را مطالعه کرده‌اند. کینگ و همکاران^[۱۷] در سال ۲۰۰۶ به مطالعه‌ی دو نوع الیاف کربن مبتنی بر پلی آکریلوئیتریلن، ۲۴۳ Fortafil و Panex ۳۰ و ماتریس ترمoplastیک Vectra (Crystal Polymer RX Liquid ۹۵۰ A) پرداختند و رفتار انتقال حرارتی این نوع کامپوزیت را بررسی کردند. نتایج نشان داد که هدایت حرارتی در داخل صفحه‌ی کامپوزیت‌های حاوی پانکس ۳۰ نسبت به آن‌هایی که حاوی Fortafil ۲۴۳ مقادیر بالاتری از خود نشان می‌دهد. جی میلر و همکاران^[۱۸] در سال ۲۰۰۵ به بررسی هدایت الکتریکی کامپوزیت‌های ساخته شده از ترکیب کربن و نایلون پرداخته‌اند. برای ساخت کامپوزیت مذکور آنها دو نوع کربن مختلف (ذرات گرافنی مصنوعی و فیبر کربن) را به نایلون اضافه کرده‌اند و کامپوزیت مذکور را به دست آوردند. نتایج نشان داد که نمونه‌ی ساخته شده از ۱۰ تا ۴۰ درصد گرافنی همان مقدار هدایت الکتریکی را دارد که کامپوزیت ساخته شده از ۵ تا ۴۰ درصد فیبر کربن ایجاد می‌کند.

الملح و همکاران^[۱۹] در سال ۲۰۱۹ به بررسی اندرکنش خاک مسلح شده به الیاف بسپاری شیشه‌ی پوشیده شده با ماسه و انواع مختلف ماسه و رس پرداختند. آنها بیان داشتند که اندرکنش بین خاک و این نوع الیاف بسپاری تابعی از زیری سطح الیاف بسپاری و نوع خاک است.

جمع‌بندی نتایج تحقیقات قبلی نشان می‌دهد که مهم‌ترین عامل‌های تأثیرگذار روی مشخصات مکانیکی فصل مشترک خاک با مسلح‌کننده، شکل ذرات خاک و تیزگوش بودن آنها، میزان رطوبت خاک و زیری سطح ورقه‌ی مسلح‌کننده اند. در مطالعات انجام شده از ژئوتکستایل به عنوان مسلح‌کننده استفاده شده است. نفوذپری ورقه‌های الیاف بسپاری کمتر از ژئوتکستایل‌ها بوده است و علاوه بر آن استفاده از رزین در اجرای این ورقه‌ها باعث کاهش بیشتر نفوذپری این مصالح می‌شود. پس تأثیر وجود رطوبت بر مشخصات مکانیکی فصل مشترک الیاف بسپاری و خاک بیشتر خواهد بود. همچنین اکثر مطالعات در مورد خاک مسلح بر روی ژئوتکستایل‌های بافت نشده و ژئوگرید انجام شده است که این گونه مصالح به صورت همسان‌گرد است. پس تاکنون مطالعاتی برای بررسی اثر غیرهمسان‌گرد بودن سطح مسلح‌کننده صورت نگرفته است. در این تحقیق اثر رطوبت و زاویه‌ی برش بر مشخصات مکانیکی فصل مشترک خاک ماسه‌ی سیلیت‌دار و ورقه‌ی الیاف بسپاری بررسی شده است. بدین منظور نمونه‌های خاک با رطوبت‌های مختلف نزدیک به رطوبت بهینه شده است و اصطکاک بین آنها و دو نوع ورقه‌ی الیاف بسپاری بافت شده دریک و دو جهت بررسی شده است. برای انجام آزمایش‌ها، از دستگاه برش مستقیم استفاده شده است.

۲. مواد و مصالح مورد استفاده

۱.۲. ماسه

ماسه‌ی استفاده شده در این تحقیق از ابتدای جاده‌ی کرمان به جوپار تهیه شده است (عرض شمالی ۳۰/۱۹ و شرقی ۵۷/۰۶ درجه). این نوع ماسه به فراوانی در این

فصل مشترک خاک با مسلح‌کننده‌ها ضروری است.

تسليح‌کننده‌های مرسوم نظر ژئوتکستایل، ژئوگرید و تسمه‌های فولادی دارای چند عیب بزرگ هستند. مطالعات شیو و چنگ^[۱۰] (۲۰۰۵) و سانوکی و همکاران^[۱۱] (۱۹۹۳) نشان داد که اولاً این مصالح با گذشت زمان به تدریج دچار خرس و

از بین رفتگی می‌شوند. ثانیاً مصالح نظر تسمه‌های فازی نیز با گذشت زمان ريسک خوردگی را دارند. پژوهش کاو^[۱۲] (۲۰۰۶) نشان داد که مقاومت کششی پلیمرهای کربنی ۵ برابر فلز است و این مواد در مقابل خوردگی و خرس دارای دوام به مرتبه بالاتری از مواد مسلح‌کننده‌ی مرسوم هستند.

در سال ۱۹۹۹ فرست و هان^[۱۳]، با انجام آزمایش برش مستقیم رفتار فصل مشترک چند نوع ماسه شامل ماسه اتاوا (با ذرات کردگوشه) و چند نوع ماسه با ذرات دارای زاویه (از برگوشه) و ورقه‌های الیاف بسپاری را مطالعه کردند. آن‌ها دریافتند که پارامترهایی چون اندازه‌ی متوسط دانه‌های ماسه، زیری سطح مشترک، تراکم اولیه‌ی ماسه، تشن نرمال و شکل ذرات ماسه در مقدار اصطکاک سطح مشترک تأثیری مستقیم دارد. هم‌چنین به این نتیجه رسیدند که سرعت برش، تأثیری بر روی اصطکاک سطح مشترک ندارد. مطالعات انجام شده بر روی مقاومت بیرون‌کشیدگی ورقه‌های الیاف کربنی و الیاف شیشه تحت تشن‌های کم نشان می‌دهد که لغزش و بیرون‌کشیدگی ورقه‌های الیاف شیشه حالتی پیش‌روندۀ دارد و گسیختگی به صورت آنی اتفاق نمی‌افتد.^[۱۴]

ساکر و همکاران^[۱۵] (۲۰۰۵) مشخصات فصل مشترک ماسه و الیاف بسپاری

حاصل شده از نتایج آزمایش برش مستقیم را با نتایج آزمایش بیرون‌کشیدگی شمع با مقیاس واقعی مقایسه کردند و به این نتیجه رسیدند که نتایج آزمایش برش مستقیم روی فصل مشترک این مصالح طبق خوبی با واقعیت دارد. توفیقی و همکاران^[۱۶] (۲۰۱۳) مشخصات فصل مشترک ماسه با الیاف بسپاری را در شرایط بیرون‌کشیدگی مطالعه کردند و اثر استفاده از رزین به عنوان اتصال دهنده خاک با ورقه‌ی الیاف را بررسی کردند. نتایج آزمایش‌های آنها نشان می‌دهد که جای‌گذاری ورقه‌های الیاف در داخل خاک قبل از گیرش رزین باعث افزایش اصطکاک و چسبندگی بین ورقه الیاف و خاک می‌شود. هم‌چنین نتایج آزمایش‌های آنها نشان می‌دهد که رفتار لغزش و بیرون‌کشیدگی ورقه‌های الیاف کربنی که قبل از گیرش رزین در داخل خاک قرار داده شده بودند، شکل‌پذیرتر از حالتی بود که ورقه‌های بعد از گیرش رزین استفاده شده بودند.

بررسی‌های انجام شده روی اثر رطوبت بر مشخصات مکانیکی فصل مشترک خاک ریزدانه و ژئوتکستایل نشان می‌دهد که افزایش میزان رطوبت باعث کاهش اصطکاک بین خاک ریزدانه و ژئوتکستایل می‌شود.^[۱۷] (۲۰۱۱) حتامی و همکاران^[۱۸] رفتار مکانیکی فصل مشترک خاک غیر اشیاع با تکستایل را در آزمایشگاه با آزمایش pull-out بررسی کرده‌اند. نتایج تحقیقات آنها نشان می‌دهد که گرچه در خاک‌های غیر اشیاع وجود مکش با فشار آب حفاظه‌ی منفی باعث افزایش نیروی اصطکاک بین خاک و ژئوتکستایل می‌شود، اما وجود رطوبت در حین گسیختگی باعث کاهش نیروی اصطکاک می‌شود. آن‌ها بر اساس مشاهدات شان یک ضریب کاهنده برای مقاومت بیرون‌کشیدگی ژئوتکستایل ارائه کرده‌اند که تابع میزان رطوبت است.

ابوفرسخ و همکاران^[۱۹] (۲۰۰۷) اثر رطوبت و وزن مخصوص خشک خاک در مشخصات مکانیکی فصل مشترک خاک ریزدانه و درشت‌دانه را با چند نوع ژئوتکستایل بررسی کرده‌اند. آن‌ها بر اساس نتایج آزمایش‌های پیشنهاد کرده‌اند که برای محاسبه‌ی حدود ۲ درصد بیشتر از رطوبت بهینه‌ی خاک تعیین گردد. این رطوبت افزوده باعث کاهش اصطکاک بین خاک و مسلح‌کننده می‌شود و به نفع اطمینان است.

۳.۲. رزین و سخت‌کننده
الیاف کربن به طور معمول به صورت رشته‌بی هستند که از اپوکسی رزین برای به هم چسباندن این رشته‌ها استفاده می‌شود. رزین سخت شده باعث تکمیل مسیر انتقال نیرو بین رشته‌های الیاف می‌شود. معمولاً رزین با یک نوع سخت‌کننده ترکیب می‌شود. در این تحقیق از رزین RL۴۴۰ و سخت‌کننده HY۴۴۰ استفاده شده که با نسبت ۲ واحد رزین و یک واحد سخت‌کننده (هاردنر) برای ساخت اپوکسی مورد استفاده قرار گرفته است.

ناحیه از استان کرمان در دسترس قرار دارد و در پروژه‌های استانی مورد استفاده قرار می‌گیرد. این ماسه، ماسه‌ی نسبتاً ریزدانه بوده است و حاوی مقادیری سیلیکات نیز هست. نمودار دانه‌بندی ماسه‌ی مورد استفاده، در شکل ۱ نشان داده شده است. ماسه‌ی مورد استفاده طبق سیستم طبیه‌بندی متحده در رده‌ی ماسه‌ی بد دانه‌بندی شده سیلت دار (SM) قرار می‌گیرد. آزمایش‌های برش بر روی قسمت رد شده از الک شماره ۱۰ این خاک انجام شده است.

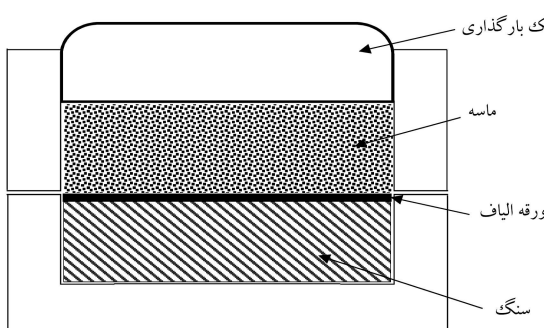
حد روانی قسمت ریزدانه ۱۳/۵ رطوبت درجا ۵ و رطوبت بهینه‌ی این ماسه

۵ درصد، چگالی نسبی ذرات جامد ۲/۶۵، زاویه‌ی اصطکاک داخلی در حالت خشک ۳۸ درجه (طبق استاندارد ASTM D۳۰۸۰-۱۱) و در رطوبت ۱۴/۵ درصد، ۳۶ درجه و دارای چسبندگی معادل با ۰/۰۶ کیلوگرم بر سانتی‌مترمربع بوده است. کلیه‌ی آزمایش‌های انجام شده در این تحقیق مطابق با استانداردهای ASTM انجام گرفته است.^[۲۴-۲۰] آزمایش‌های اندرکش بین سطح مشترک خاک و الیاف بسپاری طبق استاندارد ASTM D۵۳۲۱-۱۴ صورت گرفته است.

۳. تهیه‌ی نمونه‌ها و انجام آزمایش‌ها

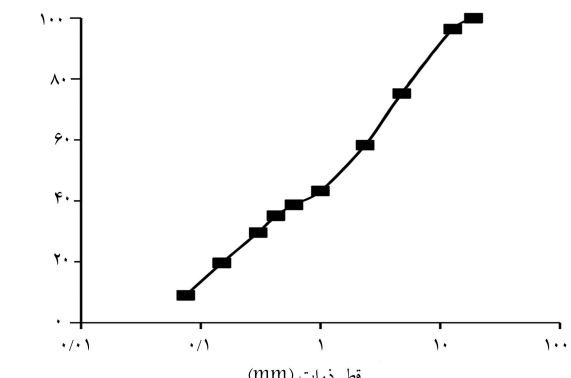
در این تحقیق مشخصات مکانیکی فصل مشترک دو نوع ورقه‌ی الیاف کربنی یک طرفه و دو طرفه که در شکل ۲ نشان داده شده است، در دو جهت متفاوت بررسی شده است. آزمایش‌ها برش برای الیاف یک‌طرفه در دو جهت امتداد طولی الیاف و برای الیاف دوطرفه، در دو جهت امتداد طولی و زاویه‌ی ۴۵ درجه نسبت به امتداد طولی الیاف‌ها انجام شده است. برای انجام آزمایش‌ها از دستگاه برش مستقیم با ابعاد ۱۰ × ۱۰ سانتی‌متر استفاده شده است. ورقه‌های الیاف اشباع شده با اپوکسی رزین بر روی یک قطعه سنگ گرانیتی ۱۰ × ۱۰ × ۱ سانتی‌متری آغشته به رزین چسبانده شده است و به مدت ۴۸ ساعت صبر شده است تا کاملاً سخت شود (مطابق با پژوهش توفیق و همکاران^[۱۱]، ناجو و همکاران^[۱۵]). برای انجام آزمایش‌ها، سنگ گرانیت در قسمت پایین جعبه‌ی برش به نحوی قرار داده شده است که ورقه‌ی الیاف کربنی دقیقاً در صفحه‌ی برش قرار گیرد. دیگر این جعبه‌ی برش و نحوی قرارگیری ورقه‌ی الیاف کربنی در شکل ۳ نشان داده شده است.

نمونه‌های خاک با رطوبت‌های ۸/۵، ۱۰/۵، ۱۲/۵ و ۱۴/۵ درصد تهیه شده است و به گونه‌ی در داخل جعبه‌ی برش متراکم شده‌اند که وزن مخصوص خشک نمونه ۱۹/۳ کیلونیوتون بر مترمکعب باشد. سیس آزمایش‌های برش مستقیم به صورت کرنش کتترل و با سرعت ۱ میلی‌متر بر دقیقه انجام شده‌اند. این سرعت طبق توصیه‌ی ASTM D۵۳۲۱-۱۴ اختاب شد. در پژوهش‌های پیشین نیز این سرعت انتخابی استفاده شده است (عبدی و صفدری سه‌گتاباد^[۲۰-۱۸]، فریرا و همکاران^[۲۶] (۲۰۱۵)) نحوی قرارگیری ورقه‌های الیاف کربن در داخل جعبه‌ی برش در چهار حالت متفاوت بوده است که در شکل ۴ نشان داده شده است.

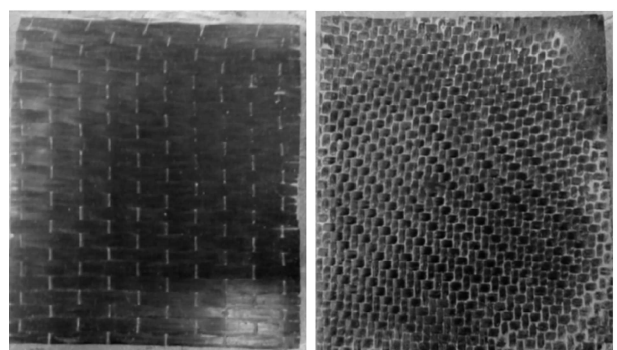


شکل ۳. جعبه‌ی برش و نحوی قرارگیری ورقه‌ی الیاف.

۲.۲. الیاف بسپاری
ورقه‌های الیاف بسپاری مورد استفاده در این تحقیق از جنس کربنی (CFRP) بوده است و به دو صورت یک‌جهته و دو‌جهته بافته شده است. مقاومت کششی الیاف یک‌طرفه و دوطرفه به ترتیب ۴۲۵ و ۳۱۰ مگاپاسکال و وزن واحد سطح آنها ۶۷۵ و ۷۸۰ گرم بر مترمربع است. تصاویر الیاف مورد استفاده در این تحقیق در شکل ۲ نشان داده شده است. الیاف موردنظر تولید شده در کارخانه‌ی کواتنوم کشور انگلیس است و خصوصیات آن از روی کاتالوگ موجود به دست آمده است.

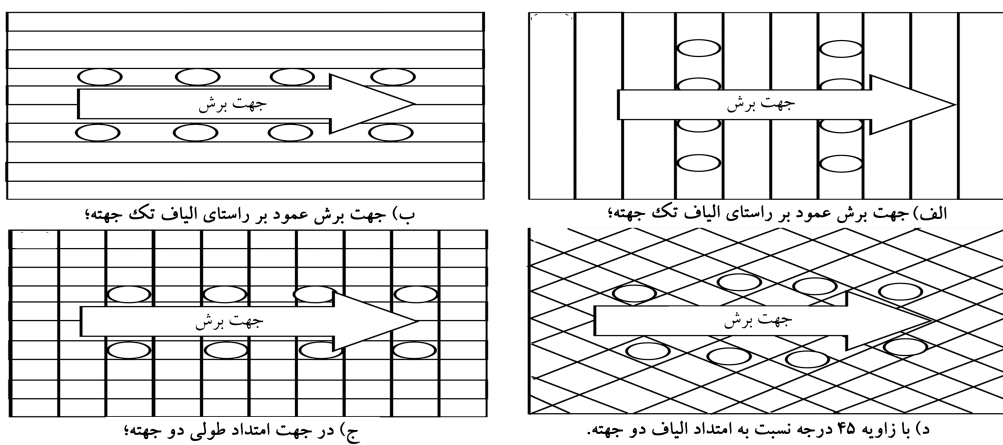


شکل ۱. نمودار دانه‌بندی خاک.

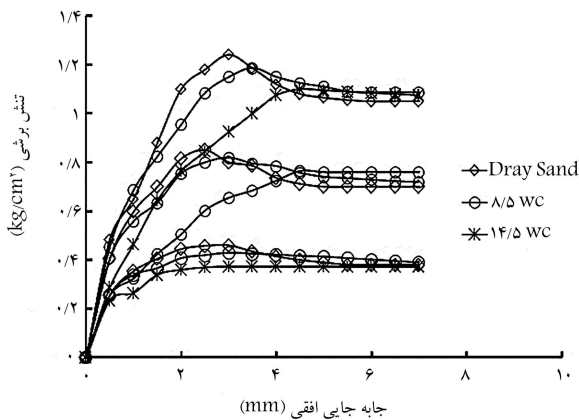


الف) دو جهته؛ ب) تک جهته.

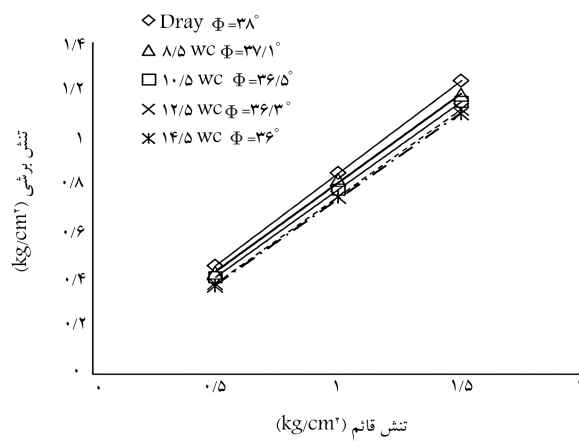
شکل ۲. ورقه‌های الیاف بسپاری مورد استفاده.



شکل ۴. آرایش ورقه های الیاف.



شکل ۵. نتایج برش خاک با رطوبت های مختلف خاک (خشک (Dry Sand)،
۸,۵ درصد و ۱۲,۵ درصد) تحت تنش های قائم ۵۰، ۱۰۰ و ۱۵۰ کیلوپاسکال.



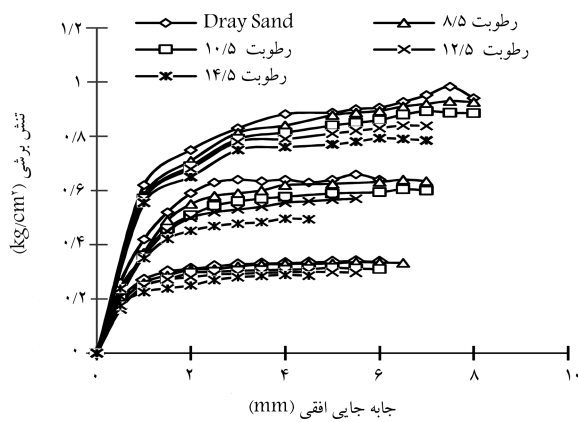
شکل ۶. پوش گسیختگی خاک با رطوبت های مختلف خاک در حالت های مختلف رطوبتی.

در شکل ۸ پوش گسیختگی موهر - کولمب برای نمونه های الیاف یک طرفه ای ارایش الف نشان داده شده در شکل ۷ ارائه شده است. همان گونه که در شکل های ۷ و ۸ مشاهده می شود، بیشترین مقاومت برشی و زاویه ای اصطکاک سطح مشترک بین خاک و ورق الیاف کربنی مربوط به حالت خشک بوده و افزایش میران رطوبت باعث کاهش مقاومت برشی فصل مشترک ماسه با ورقه الیاف کربنی شده است.

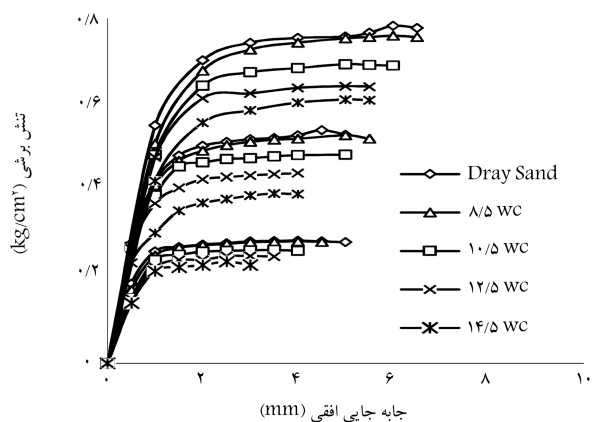
۴. نتایج آزمایش ها ۴.۱. مقاومت برشی خاک

نمودار جابه جایی برشی افقی - تنش برش بیشینه و پوش گسیختگی خاک ماسه ای سیلتی تحت اثر رطوبت های مختلف (خشک ۸,۵ درصد و ۱۲,۵ درصد) به ترتیب در شکل های ۵ و ۶ نشان داده شده است. به دلیل اختلاف بسیار ناچیز بین نمودارهای ۸,۵ و ۱۰,۵ درصد، فقط نمودار تنش برشی - جابه جایی افقی در حالت خشک، ۸,۵ درصد و ۱۲,۵ درصد ارائه شده است. همان طور که مشاهده می شود با افزایش درصد رطوبت، میران زاویه ای اصطکاکی داخلی خاک از خود کاهش نشان می دهد. این کاهش معادل ۵ درصد است که با نتایج تحقیق فریرا و همکاران در سال ۲۰۱۵^[۲۶] بر روی خاک ماسه سیلتی مطابقت دارد. دلیل این امر را می توان کاهش قفل و بست بین ذرات خاک در حالت با رطوبت بالاتر دانست. افزایش رطوبت باعث کاهش قفل شدگی بین ذرات خاک می شود و باعث افت در زاویه ای اصطکاک داخلی خاک می شود. همان طور که در شکل ۵ نشان داده شده است، در حالت خشک نمونه خاک پس از رسیدن به بیشینه مقاومت برشی با یک افت نسبی مواجه شده است. دلیل این امر را می توان تسلیم خاک و از بین رفتن چفت و بست بین ذرات خاک دانست. مشابه این نتایج در تحقیق نامجو و همکاران (۲۰۱۹)^[۱۵] مشاهده شده است. آنها نشان دادند در حالت خشک، خاک پس از رسیدن به بیشینه مقاومت برشی با یک افت نسبتاً شدید به سمت ناحیه تسلیم (ناحیه بحرانی) میل پیدا می کند. در حالت رطوبت ۱۴,۵ درصد خاک پس از رسیدن به مقاومت برشی بیشینه دیگر افتی از خود نشان نمی دهد و با افزایش جابه جایی کاهش یا افزایشی در مقاومت برشی بیشینه مشاهده نمی شود. خاک در حالت خشک از خود چسبندگی برابر ۴,۰ کیلوگرم بر سانتی متر مربع نشان داده است و با افزایش رطوبت این میران چسبندگی تغییرات فاحشی از خود نشان نداده و در حالت رطوبت ۱۴,۵ درصد به ۰,۶ کیلوگرم بر سانتی متر مربع افزایش یافته است.

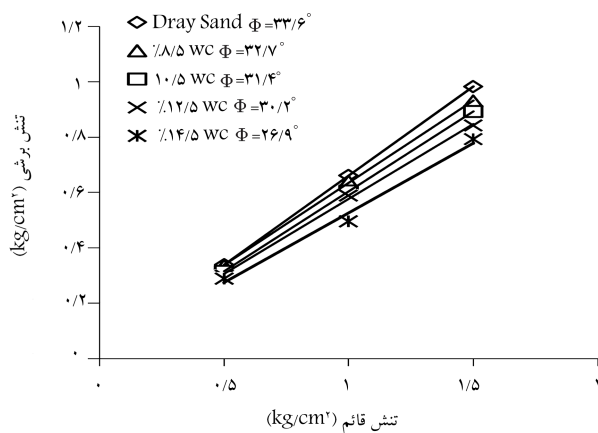
۲.۴. اصطکاک سطح مشترک ماسه و ورقه ای الیاف یک طرفه در شکل ۷ نتایج آزمایش برش فصل مشترک ماسه با ورقه ای الیاف کربنی یک طرفه که جهت برش مطابق آرایش الف به موازات طولی الیاف است، نشان داده شده است. کلیه ای آزمایش های برش انجام شده تحت تنش های قائم ۵۰، ۱۰۰ و ۱۵۰ کیلوپاسکال صورت گرفته است.



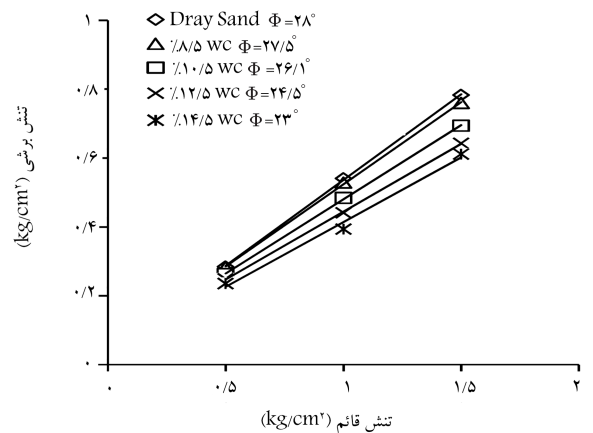
شکل ۹. نتایج برش در جهت عمود بر طول الیاف یک طرفه (آرایش ب) با رطوبت‌های مختلف خاک تحت تنشی‌های قائم ۵۰، ۱۰۰ و ۱۵۰ کیلوپاسکال.



شکل ۷. نتایج برش در جهت طولی الیاف یک طرفه با رطوبت‌های مختلف خاک تحت تنشی‌های قائم ۵۰، ۱۰۰ و ۱۵۰ کیلوپاسکال.



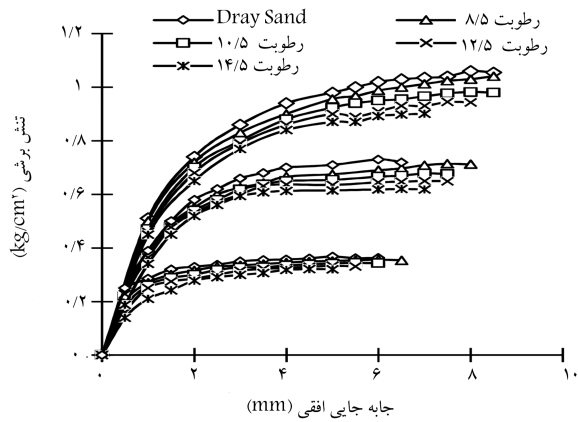
شکل ۱۰. پوش گسیختگی برای فصل مشترک خاک و الیاف یک طرفه در جهت عمود بر طول الیاف.



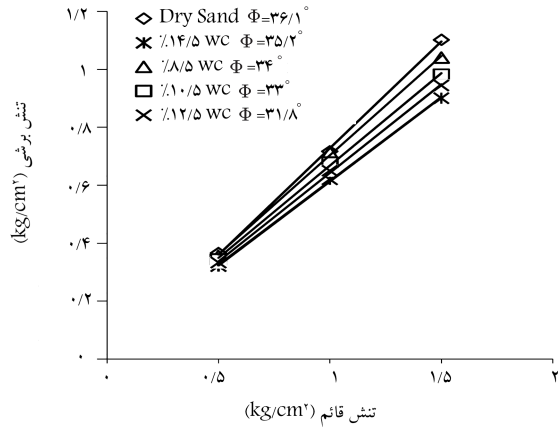
شکل ۸. پوش گسیختگی برای فصل مشترک خاک و الیاف یک طرفه آرایش.

علاوه بر این دیده می‌شود که با افزایش تنش قائم، مقاومت برشی بیشینه‌ی نظری این تنش قائم افزایش از خود نشان می‌دهد. از سوی دیگر دیده شد که در حالت خشک زاویه‌ی اصطکاک سطح مشترک خاک با الیاف ۲۸ درجه بوده و با افزایش رطوبت تا حالت رطوبت بهینه (درصد ۱۰/۵) زاویه‌ی اصطکاک سطح مشترک ۷ درصد کاهش از خود نشان می‌دهد. همچنین مشاهده شد در حالت رطوبت معادل با ۱۴/۵ درصد زاویه‌ی اصطکاک سطح مشترک تا میرزان ۲۳ درجه کاهش یافته است و این تأثیر منفی رطوبت بر اندرکش خاک با الیاف با این نوع آرایش را نشان می‌هد. در مقایسه‌ی حالت خشک نمونه‌ی خاک بهتایی و خاک با الیاف با این نوع آرایش (موازی راستی برش) ۳۵ درصد کاهش در زاویه‌ی اصطکاک سطح مشترک مشاهده می‌شود. این نتیجه با مشاهدات توفیق و همکاران درسال ۱۶/۰ مطابقت دارد. چسبندگی خاک و الیاف در این نوع آرایش در حالت خشک ۲/۰ کیلوگرم بر سانتی‌مترمربع بود و با افزایش رطوبت این میرزان چسبندگی در خاک طولی و عمود بر امتداد الیاف به ترتیب ۳۳/۶ و ۲۸ درجه بوده‌اند. دلیل استفاده از این نوع الیاف اجرای لایه‌لایه‌ی خاک‌ریز و جلوگیری از ایجاد حالت گسیختگی برشی است. پالمیرا^[۲۷] (۲۰۰۹) نشان داد استفاده از مسلح‌کننده با طول تأثیر مؤثر و ارتفاع لایه‌های مناسب باعث ایجاد نیروهای مقاوم درون توده‌ی خاک و یکپارچه عمل کردن سازه‌ی خاکی مسلح شده با المان تسلیح می‌شود. استفاده از مسلح‌کننده‌ها باعث افزایش نیروهای مقاومتی در توده‌ی خاک از طریق نیروی کششی ایجاد شده توسعه مسلح کننده می‌شود و در نتیجه

۹ نتایج آزمایش‌های برش فصل مشترک روی نمونه‌های خاک با چشم‌بوشی در جهت دادند الیاف بسیاری کربنی با خاک تحت اثر حالت‌های رطوبتی متنوع (خشک و اشباع) چسبندگی ناچیزی ایجاد کرده است که قابل چشم‌بوشی است. در شکل ۹ نتایج آزمایش‌های برش فصل مشترک روی نمونه‌های الیاف یک طرفه در جهت

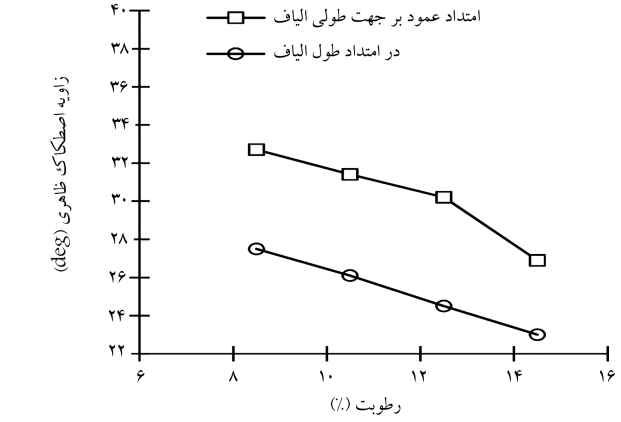


شکل ۱۲. نتایج برش در جهت عمودی الیاف دوطرفه با رطوبت‌های مختلف خاک تحت تنشی‌های قائم ۵۰، ۱۰۰ و ۱۵۰ کیلوپاسکال.



شکل ۱۳. پوش گسیختگی موهر کولمب فصل مشترک الیاف دوطرفه با رطوبت‌های مختلف خاک در جهت عمودی.

درصد رطوبت از حالت خشک به خاک با درصد رطوبت معادل با ۱۴/۵ درصد، زاویه اصطکاک سطح مشترک خاک با الیاف دوجهته با آرایش (آرایش a) در حالت ۴/۳ درجه مواجه شده است. علاوه بر این با مقایسه حالت خشک این نوع آرایش و حالت خشک خود خاک می‌توان دریافت که زاویه اصطکاک سطح مشترک با این نوع الیاف ۵ درصد کمتر از زاویه اصطکاک داخلی خاک است. علاوه بر این دیده می‌شود که در حالت رطوبت معادل ۱۴/۵ درصد، زاویه اصطکاک داخلی خاک ۱۳ درصد بیشتر از زاویه اصطکاک خاک با الیاف بوده است. با مقایسه شکل ۱۳ و ۱۰ می‌توان مشاهد کرد که الیاف دوجهته در حالت خشک این درصد بیشتر از الیاف تک‌جهته‌ی عمود بر راستای برش مقاومت اصطکاکی ۷/۵ درصد ایجاد کرده است و این مقایسه ششانده‌نده عملکرد بهتران نوع الیاف (دوجهته) نسبت به الیاف تک‌جهته در اندرکش خاک و جزء تسليح است. میزان چسبندگی به دست آمده در حالت خشک معادل با ۴۰ کیلوگرم بر سانتی‌مترمربع است و این میزان چسبندگی با آرایش رطوبت تا مقدار ۹۰ کیلوگرم بر سانتی‌متر آرایش می‌یابد. آزمایش‌های انجام شده روی ورقه‌های الیاف دوطرفه در جهت زاویه ۴۵ درجه نسبت به الیاف طولی و عرضی (آرایش d) نیز در شکل ۱۴ نشان داده شده است. پوش گسیختگی موهر - کولمب نیز برای این آزمایش‌ها در شکل ۱۵ نشان داده شده است.



شکل ۱۱. تأثیر میزان رطوبت در زاویه اصطکاک سطح مشترک بین خاک و ورقه‌ی الیاف بسپاری.

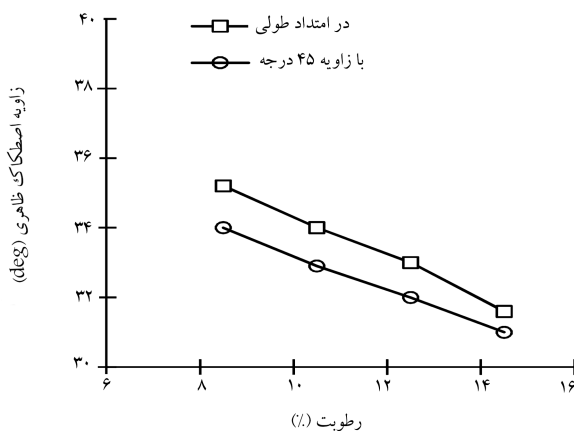
موجب کاهش تغییر شکل‌های افقی و افزایش پایداری کلی در سازه‌های خاکی می‌شود.

در شکل ۹ نیز تأثیر میزان رطوبت خاک در زاویه اصطکاک سطح مشترک بین خاک و ورقه‌ی الیاف کربنی نشان داده شده است. با توجه به نتایج مستخرج از شکل ۱۰ می‌توان نتیجه گرفت افزایش رطوبت از حالت خشک به خاک با درصد رطوبت معادل با ۱۴/۵ درصد، باعث کاهشی معادل با ۲۰ درصد در زاویه اصطکاک سطح مشترک خاک با الیاف بسپاری کربنی در جهت عمود بر راستای برش (آرایش b) می‌شود.

علاوه بر این در حالت خشک مشاهده گردید که زاویه اصطکاک سطح مشترک در آرایش عمود بر راستای برش (آرایش b) افزایشی معادل با ۲۰ درصد نسبت به زاویه اصطکاک سطح مشترک در راستای موازی با جهت برش دارد. این نتیجه مطابق با نتیجه مستخرج از پژوهش نامجو و همکاران ۲۰۱۹ بوده است. آنها نشان دادند الیاف عمود بر راستای برش زاویه اصطکاک سطح مشترک بیشتری نسبت به الیاف موازی در راستای برش دارند. دلیل این امر آن است که برخلاف حالاتی که خاک در راستای برش بر روی المان می‌لغزد (آرایش الف)، در حالت الیاف در راستای عمود، بندهای الیاف مانع از جابه‌جایی خاک می‌شود و باعث افزایش مقاومت برشی خاک و در نتیجه افزایش زاویه اصطکاک سطح مشترک می‌شود. از مقایسه نتایج خاک در حالت خشک و اندرکش خاک با الیاف عمود بر راستای برش می‌توان دریافت که زاویه اصطکاک سطح مشترک خاک با الیاف در حالت ۱۳ درصد از زاویه اصطکاک داخلی خاک کمتر است. نتایج نشان داد در حالت خشک چسبندگی بین این الیاف و ۴۰ کیلوگرم بر سانتی‌مترمربع بوده است و با آرایش رطوبت تا درصد رطوبت معادل ۱۴/۵ درصد این میزان چسبندگی تا مقدار ۸۵ کیلوگرم بر سانتی‌مترمربع افزایش می‌یابد. با توجه به شکل ۱۱ می‌توان نتیجه گرفت که وجود رطوبت باعث کاهش اصطکاک سطح مشترک بین خاک و ورقه‌ی الیاف می‌شود. این کاهش در هر دو نوع الیاف مشاهده می‌شود. نتایج مشابهی برای ژئوتکستیل بافته شده و نشده نیز گزارش شده است.^[۱۲، ۱۳]

۴. اصطکاک سطح مشترک ماسه و ورقه‌ی الیاف دوطرفه

در شکل ۱۲ نتایج آزمایش‌های برش فصل مشترک بر روی الیاف دوطرفه در جهت الیاف (مطابق آرایش ج) و در شکل ۱۳ پوش گسیختگی مربوط به این آزمایش‌ها نشان داده شده است. همان‌طور که از شکل ۱۳ می‌توان نتیجه گرفت، با افزایش



شکل ۱۶. تأثیر رطوبت بر زاویه‌ی اصطکاک سطح مشترک بین خاک و ورقه‌ی الیاف بسپاری دوطرفه.

موازی الیاف و زاویه‌ی ۴۵ درجه با امتداد الیاف به دست آمده، نشان داده شده است.

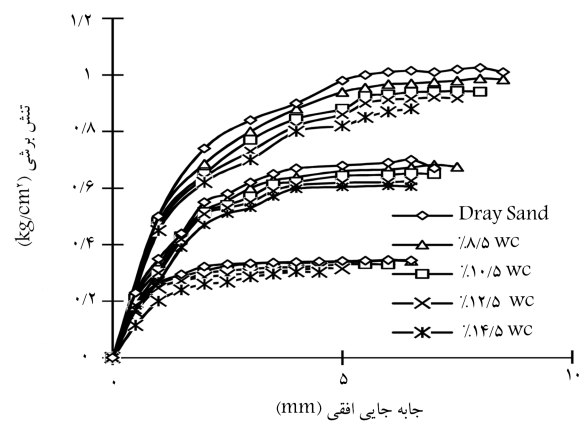
همان‌گونه که در شکل ۱۶ دیده می‌شود، در الیاف دوطرفه نیز افزایش رطوبت باعث کاهش اصطکاک سطح مشترک بین الیاف و خاک می‌شود. از مقایسه‌ی این نتایج با نتایج بدست آمده از آزمایش‌های انجام شده روی الیاف یک‌طرفه که در شکل ۱۱ نشان داده شده است، نتیجه می‌شود که تأثیر کاهنده‌ی رطوبت بر اصطکاک سطح مشترک بین خاک و الیاف دوطرفه به مراتب کمتر از الیاف یک‌طرفه است.

همان‌گونه که در شکل ۱۳ دیده می‌شود، مقاومت برشی فصل مشترک خاک با الیاف کربنی دوطرفه در جهت طولی با عرضی الیاف‌ها بیشتر از مقاومت برشی فصل مشترک همان خاک با الیاف یک‌طرفه با جنس مشابه است. با توجه به شکل (د) و مقایسه‌ی آرایش‌های (الف و ب) با آرایش‌های (ج و د) می‌توان چنین نتیجه گرفت که در حالت دوطرفه امکان جابه‌جایی ذرات خاک کمتر است و وجود شیارهای طرف دیگر حرکت آزاد ذرات را محدود می‌کند. پس در چنین شرایطی نیروی بیشتری برای ایجاد لغزش بین خاک و الیاف مورد نیاز است.

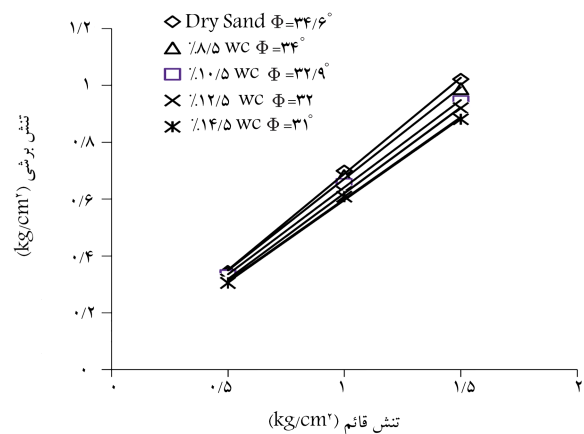
مقایسه‌ی نتایج بدست آمده از آزمایش‌ها با رطوبت‌های مختلف که روی هر دو نوع الیاف انجام شده است، نشان می‌دهد که حساسیت مقاومت برشی فصل مشترک نسبت به جهت برش در الیاف دوطرفه کمتر از الیاف یک‌طرفه است. هم‌چنین نزد کاهش اصطکاک سطح مشترک بین خاک و الیاف نسبت به افزایش رطوبت در الیاف دوطرفه کمتر است.

۵. نتیجه‌گیری

در این مقاله تأثیر میزان رطوبت و جهت برش بر زاویه‌ی اصطکاک سطح مشترک بین خاک ماسه‌ی سیلت دار و ورقه‌های الیاف بسپاری کربنی بررسی شد. آزمایش‌های برش فصل مشترک برای هر دو نوع الیاف با دو جهت متفاوت انجام گرفت. بر اساس نتایج آزمایش‌های انجام شده می‌توان دید که زاویه‌ی اصطکاک سطح مشترک بین خاک و ورقه‌ی الیاف بسپاری دوطرفه به مراتب بیشتر از الیاف یک‌طرفه است. دلیل این امر را می‌توان به وجود شیارهای موازی در هر دو جهت نسبت داد که باعث ایجاد محدودیت حرکت ذرات خاک می‌شود. علاوه بر این مقاومت برشی فصل مشترک خاک با الیاف کربنی تابع جهت الیاف و درصد رطوبت است و



شکل ۱۴. نتایج برش در جهت ۴۵ درجه روی الیاف دوطرفه با رطوبت‌های مختلف خاک تحت تنש‌های قائم ۵۰، ۵۰، ۱۰۰ و ۱۵۰ کیلوپاسکال.



شکل ۱۵. پوش‌گسیختگی موهر کولمب فصل مشترک الیاف دوطرفه با رطوبت‌های مختلف خاک در جهت ۴۵ درجه.

اشکال ۱۳ و ۱۵ نشان می‌دهد که مقاومت برشی فصل مشترک خاک و ورقه‌های الیاف کربنی در جهت طولی یا عرضی الیاف بیشتر از مقاومت برشی فصل مشترک همان خاک و همان الیاف در جهت مورب با زاویه‌ی ۴۵ درجه است. دلیل این امر این نکته است که در راستای ۴۵ درجه سطح مقاوم کمتری مانع از جابه‌جایی ذرات می‌شود؛ در صورتی که در حالت ۹۰ درجه بنده‌های الیاف به عنوان یک مانع کامل عمل می‌کنند و با رسیدن دانه‌های ماسه به این بندها، نمونه از خود مقاومت برشی بیشتری نشان می‌دهد و چفت بست بیشتری بین بنده‌های الیاف ۹۰ درجه دوجهته و خاک ایجاد می‌شود که سبب افزایش مقاومت برشی بیشینه و در نتیجه زاویه‌ی اصطکاک اندرکنشی می‌شود.

علاوه بر این مشاهده شد که استفاده از این آرایش الیاف در سطح مشترک خاک، باعث کاهش ۱۰ درصدی زاویه‌ی اصطکاک سطح مشترک در حالت خشک می‌شود. علاوه بر این می‌توان دید که میزان چسبندگی در سطح مشترک خاک با الیاف با زاویه‌ی ۴۵ درجه در حالت خشک معادل 0.5 کیلوگرم بر سانتی‌متر مریع است و این نوع الیاف باعث ایجاد چسبندگی قابل ملاحظه‌ی در سطح مشترک خاک و الیاف نمی‌شود. هم‌چنین نتایج این نشان می‌دهد که برای ورقه‌های الیاف دوطرفه نیز افزایش رطوبت خاک باعث کاهش مقاومت برشی فصل مشترک خاک و ورقه‌ی الیاف بسپاری دوطرفه که از آزمایش‌های برش در دو جهت

اصطکاک سطح مشترک بین خاک و الیاف دوجهته‌ی عمود بر راستای برش به ترتیب $4/3$ ، $7/5$ و $2/9$ درصد بزرگ‌تر از زاویه‌ی اصطکاک اندرکش در سطح مشترک خاک به الیاف دوجهته با زاویه‌ی 45° درجه، الیاف تک‌جهتی عمود و الیاف تک‌جهتی موازی جهت برش است. علاوه‌بر این مشاهده شد که چسبندگی بین خاک و جزء تسليخ دارای محدوده‌ی عددی بین 2° و 9° کیلوگرم بر سانتی‌مترا مربع و 9° کیلوگرم بر سانتی‌مترا مربع بوده است که قابل چشم پوشی‌اند. علاوه‌بر این، می‌توان دید که افزایش میزان رطوبت خاک باعث کاهش اصطکاک بین خاک و ورقه‌ی الیاف کربنی می‌شود. بیشترین مقدار زاویه‌ی اصطکاک سطح مشترک بین خاک و الیاف کربن در هر دو نوع یک و دوطرفه در حالت خشک ایجاد می‌شود.

تغییر زاویه‌ی برش باعث تغییر مقاومت برشی فصل مشترک این مصالح می‌شود. بر اساس این نتایج می‌توان دریافت که نسبت ضربی اصطکاک بین خاک و الیاف یک‌طرفه در جهت طولی نسبت به خود خاک حدود $7/3$ و در جهت عمود بر امتداد الیاف $8/8$ بوده است که این اختلاف قابل ملاحظه است. در مورد الیاف دوطرفه این نسبت‌ها به ترتیب $9/1$ با زاویه‌ی 45° درجه و $9/5$ در امتداد عمود بر الیاف بوده است. در حالت خاک با رطوبت معادل $14/5$ درصد، ضربی اصطکاک الیاف دوجهته عمود بر راستای برش $8/8$ است. با توجه به این موارد می‌توان نتیجه گرفت که حساسیت زاویه‌ی اصطکاک سطح مشترک بین خاک و ورقه‌ی الیاف کربنی یک‌طرفه نسبت به زاویه‌ی برش به مراتب بیشتر از حساسیت الیاف دوطرفه است. در حالت خشک نتایج نشان داد که زاویه‌ی

منابع (References)

1. Toufigh, V., Ouria, A. and Desai, C.S. "Interface behavior between carbon-fiber polymer and sand", *Journal of Testing and Evaluation*, **44**(1), pp. 385-390 (2016).
2. Meier, U. "Carbon fiber reinforced polymers: Modern materials in bridge engineering", *Structural Engineering International*, **2**(1), pp. 7-12 (1992).
3. Miyata, K. "Walls reinforced with fiber reinforced plastic geogrids in Japan", *Geosynthetics International*, **3**(1), pp. 1-11 (1996).
4. Ouria, A., Toufigh, V., Desai, C. and et al. H. "Finite element analysis of a CFRP reinforced retaining wall", *Geomechanics and Engineering*, **10**(6), pp. 757-774 (2016).
5. Shiu, H.Y. and Cheung, R. W. "Long-term durability of steel soil nails in Hong Kong", *HKIE Transactions*, **15**(3), pp. 24-32 (2008).
6. Sawicki, A. and Kazimierowicz-Frankowska, K. "Creep behaviour of geosynthetics", *Geotextiles and Geomembranes*, **16**(6), pp. 365-382 (1998).
7. Kaw, A.K., *Mechanics of Composite Materials*, Taylor & Francis, London: CRC press (2005).
8. Frost, J.D. and Han, J. "Behavior of interfaces between fiber-reinforced polymers and sands", *Journal of Geotechnical and Geoenvironmental Engineering*, **125**(8), pp. 633-640 (1999).
9. Zhang, C., Zhu, H., Shi, B. and et al. "Experimental investigation of pullout behavior of fiber-reinforced polymer reinforcements in sand", *J. Compos. Constr.*, **19**(3), pp.04014062, DOI:10.1061/(ASCE)CC.1943-5614.0000526 (2015).
10. Sakr, M., El Naggar, M.H. and Nehdi, M. "Interface characteristics and laboratory constructability tests of novel fiber-reinforced polymer/concrete piles", *Journal of Composites for Construction*, **9**(3), pp. 274-283 (2005).
11. V. Saeid, F., Toufigh, V. and et al. Toufigh, "Laboratory study of Soil-CFRP interaction us-
- ing pull-out test", *International Journal of Geomechanics and Geoengineering*, **9**(3), pp.208-214 DOI:10.1080/17486025.2013.813650 (2014)
12. Hatami, K., Garcia, L. and Miller, G. "A Moisture reduction factor for pullout resistance of geotextile reinforcement in marginal soils", *Geo-Frontiers Congress*, 3576-3586 (2011).
13. Abu-Farsakh, M., Coronel, J. and Tao, M. "Effect of soil moisture content and dry density on cohesive soil-geosynthetic interactions using large direct shear tests", *J. Mater. Civ. Eng.*, **11**(7), pp. 540-549 (2007).
14. De Rossi, A., Carvalheiras, J., Novais, R.M. and et al. "Waste-based geopolymeric mortars with very high moisture buffering capacity", *Construction and Building Materials*, **191**, pp. 39-46 (2018).
15. Namjoo, A.M., Toufigh, M.M. and Toufigh, V. "Experimental investigation of interface behaviour between different types of sand and carbon fibre polymer", *European Journal of Environmental and Civil Engineering*, pp. 1-20 (2019).
16. Kamseu, E., Mohamed, H., Sofack, J.C. and et al. "Moisture control capacity of geopolymer composites: Correlation of the bulk composition-pore network with the absorption-desorption behavior", *Transport in Porous Media*, **122**.1, pp. 77-95 (2018).
17. King, Julia A., Faith A. Morrison, Jason M. and et al. "Electrical conductivity and rheology of carbon liquid crystal polymer composites", *Journal of applied polymer science*, **101**, pp. 42680-2688 (2006).
18. Miller, M.G., Keith, J.M., King, J.A. and et al. "Comparison of the filled source methods for carbon plane flow and transient heat the guarded nylon 6, 6 composites: Experiments and modeling", *Journal of Applied Polymer Science*, **99**(5), pp. 2144-2151 (2006).
19. Almallah, A., Sadeghian, P. and El Naggar, H. "Enhancing the interface friction between glass fiber-reinforced polymer sheets and sandy soils through sand coating", *Geomechanics and Geoengineering*, **15**(3), pp.186-202 (2019).

20. ASTM D422-63: Standard Test Method for Particle-Size Analysis of Soils, American Society for Testing and Materials, West Conshohocken, Pennsylvania, USA.
21. ASTM D2216-05: Standard Test Methods for Laboratory Determination of Water (Moisture) Content of Soil and Rock by Mass, ASTM International, West Conshohocken, PA, www.astm.org (2005).
22. ASTM D2487-11: Standard Practice for Classification of Soils for Engineering Purposes (Unified Soil Classification System), ASTM International, West Conshohocken, PA, www.astm.org (2011).
23. ASTM D3080-11: Standard Test Method for Direct Shear Test of Soils Under Consolidated Drained Conditions, ASTM International, West Conshohocken, PA, www.astm.org (2004).
24. ASTM D5321-14: Standard Test Method for Determining the Shear Strength of Soil-Geosynthetic and Geosynthetic-Geosynthetic Interfaces by Direct Shear, ASTM International, West Conshohocken, PA, www.astm.org (2007).
25. Abdi, M.R. and Safdari Seh Gonbad, M. "Enhancement of soil-geogrid interactions in direct shear mode using attached elements as anchors", *European Journal of Environmental and Civil Engineering*, **22**, pp. 1-19 (2018).
26. Ferreira, F.B., Vieira, C.S. and Lopes, M. "Direct shear behaviour of residual soil-geosynthetic interfaces-influence of soil moisture content, soil density and geosynthetic type." *Geosynthetics International*, **22**(3), pp. 257-272 (2015).
27. Palmeira, E.M. "Soil-geosynthetic interaction: modelling and analysis", *Geotextiles and Geomembranes*, **27**(5), 368-390 (2009).